

УДК 519.6,51-73,537.533.9

О ВОЗМОЖНОСТИ ПРИЛОЖЕНИЯ МАТРИЧНОГО МЕТОДА К МОДЕЛИРОВАНИЮ КАТОДОЛЮМИНЕСЦЕНЦИИ, ОБУСЛОВЛЕННОЙ ШИРОКИМ ЭЛЕКТРОННЫМ ПУЧКОМ В ПЛАНАРНОЙ МНОГОСЛОЙНОЙ ПОЛУПРОВОДНИКОВОЙ СТРУКТУРЕ

© 2020 г. М. А. Степович¹, В. В. Калманович¹*, Е. В. Серегина²

¹Федеральное государственное бюджетное образовательное учреждение высшего образования
“Калужский государственный университет имени К.Э. Циолковского”, Калуга, Россия

²Федеральное государственное бюджетное образовательное учреждение высшего образования
“Московский государственный технический университет имени Н.Э. Баумана
(национальный исследовательский университет)”, Калужский филиал, Калуга, Россия

*E-mail: v572264@yandex.ru

Поступила в редакцию 02.12.2019 г.

После доработки 23.12.2019 г.

Принята к публикации 27.01.2020 г.

Изложены результаты изучения возможностей приложения аналитического матричного метода к моделированию диффузии неравновесных неосновных носителей заряда и последующей катодолюминесценции, обусловленной широким электронным пучком в планарной многослойной структуре полупроводниковой оптоэлектроники с произвольным числом слоев. Предложенный метод позволяет проводить расчеты с точностью, достаточной для практического использования в электронно-зондовых технологиях.

DOI: 10.31857/S0367676520050397

ВВЕДЕНИЕ

Для материалов полупроводниковой оптоэлектроники одним из наиболее информативных является катодолюминесцентное (КЛ) излучение, интенсивность I которого на фиксированной длине волны пропорциональна концентрации $c(M(x, y, z), t)$ неравновесных неосновных носителей заряда (ННЗ) в точке $M(x, y, z)$ мишени в момент времени t [1]. Для стационарного случая облучения полупроводниковой мишени, реализующегося в стандартной методике КЛ измерений, можно считать, что

$$I \approx \iiint_V c(x, y, z) \exp(-\alpha z) dx dy dz.$$

Здесь α — коэффициент поглощения монохроматического КЛ излучения в объеме полупроводника. В прямоугольной декартовой системе координат оси x и y обычно располагают на плоской поверхности мишени, а ось z направляют вглубь полупроводника.

При использовании широкого электронного пучка для возбуждения КЛ излучения задача вычисления распределений генерированных элек-

тронами неравновесных ННЗ и интенсивности КЛ, возникающей при излучательной рекомбинации ННЗ, сводится к одномерной. В то же время даже для одномерной модели трудности реализации необходимых вычислений позволили моделировать КЛ лишь в двухслойных [2–4] и трехслойных [5] структурах.

В настоящей работе рассмотрены некоторые возможности использования аналитического матричного метода для моделирования распределений ННЗ в многослойных полупроводниковых структурах и обсуждены некоторые возможности использования полученных результатов для моделирования КЛ, возбуждаемой в таких структурах.

Изначально матричный метод, предлагаемый к рассмотрению для расчетов КЛ, был описан применительно к задачам теплопроводности в составных пластинах в [6]. Он сводился к последовательному умножению функциональных матриц, описывающих процесс теплопроводности в рассматриваемых объектах. Однако для решения задач тепломассопереноса в многослойных средах он не получил распространения, возможно из-за того, что формулы аналитического решения получались исключительно сложными. Системы

символьных вычислений в то время только начали зарождаться и потому численные методы были предпочтительными. В частности, в [6] авторы указывают на ценность матричного метода, если использовать численные значения элементов матриц.

Ранее в наших работах аналитический матричный метод был применен совместно с аппаратом обобщенных степеней Берса [7], что позволило успешно описать в единой форме процесс тепло-массопереноса в многослойных средах с различной геометрией (плоских, осесимметричных и слоев с центральной симметрией) [8–10]. Отметим, что как численный, матричный метод применялся ранее для нахождения распределений ННЗ, генерированных широким электронным пучком, после их диффузии в однородном полупроводнике [11].

ПОСТАНОВКА ЗАДАЧИ

В случае одномерной диффузии в конечный полупроводник вдоль оси OZ, перпендикулярной поверхности *n*-слойной полупроводниковой структуры ($z \in [0, l]$), распределение ННЗ по глубине находится как решение дифференциального уравнения

$$\frac{d}{dz} \left(D^{(i)}(z) \frac{d\Delta p^{(i)}(z)}{dz} \right) - \frac{\Delta p^{(i)}(z)}{\tau^{(i)}(z)} = -\rho^{(i)}(z), \quad i = \overline{1, n}, \quad (1)$$

с граничными условиями

$$\left. D^{(1)} \frac{d\Delta p^{(1)}(z)}{dz} \right|_{z=0} = v_s^{(1)} \Delta p^{(1)}(0), \quad (2)$$

$$\left. D^{(n)} \frac{d\Delta p^{(n)}(z)}{dz} \right|_{z=l} = -v_s^{(n)} \Delta p^{(n)}(l).$$

Верхний индекс в скобках указывает номер слоя. Для многослойной структуры обозначим: $z_1 = 0, z_{n+1} = l$ – внешние границы полупроводника, z_2, z_3, \dots, z_n – координаты границ раздела слоев; $D^{(i)}, L^{(i)}, \tau^{(i)}$ – электрофизические параметры: коэффициент диффузии, диффузионная длина и время жизни ННЗ в *i*-м слое соответственно, при этом $L^{(i)} = \sqrt{D^{(i)}\tau^{(i)}}$. На границах полупроводника (при $z = 0$ и при $z = l$) приведенные скорости поверхностной рекомбинации $S^{(1)} = L^{(1)}v_s^{(1)}/D^{(1)}, S^{(n)} = L^{(n)}v_s^{(n)}/D^{(n)}$, где $v_s^{(1)}$ и $v_s^{(n)}$ – скорости поверхностной рекомбинации ННЗ в первом и *n*-ом слоях соответственно. Функция $\Delta p^{(i)}(z)$ описывает распределение по глубине в *i*-м слое неравновесных ННЗ, генерированных внешним энерге-

тическим воздействием, после их диффузии в полупроводнике. Функция $\rho^{(i)}(z)$ – зависимость от координаты плотности ННЗ, генерированных электронным пучком в полупроводниковой мишени до их диффузии. Для широкого электронного пучка $\rho^{(i)}(z)$ может быть найдена из выражения для плотности энергии электронного пучка $\rho^{*(i)}(z)$, выделяемой в мишени в единицу времени до начала процесса диффузии [12–14].

АЛГОРИТМ АНАЛИТИЧЕСКОГО РЕШЕНИЯ МАТРИЧНЫМ МЕТОДОМ

Введем вектор-столбцы *V*, *W* и матрицу *K* на каждом слое [8–11]:

$$V^{(i)}(z) = \begin{pmatrix} \Delta p^{(i)}(z) \\ J^{(i)}(z) \end{pmatrix}, \quad W^{(i)}(z) = \begin{pmatrix} w^{(i)}(z) \\ -D^{(i)} \frac{dw^{(i)}(z)}{dz} \end{pmatrix},$$

$$K^{(i)}(z, z_i) = \begin{pmatrix} \operatorname{ch} \frac{z - z_i}{\sqrt{D^{(i)}\tau^{(i)}}} & -\sqrt{\frac{\tau^{(i)}}{D^{(i)}}} \operatorname{sh} \frac{z - z_i}{\sqrt{D^{(i)}\tau^{(i)}}} \\ -\sqrt{\frac{D^{(i)}}{\tau^{(i)}}} \operatorname{sh} \frac{z - z_i}{\sqrt{D^{(i)}\tau^{(i)}}} & \operatorname{ch} \frac{z - z_i}{\sqrt{D^{(i)}\tau^{(i)}}} \end{pmatrix},$$

где $J^{(i)}(z) = -D^{(i)}\Delta p^{(i)}(z)$ – поток, $w^{(i)}(z)$ – некоторое частное решение уравнения (1) для *i*-го слоя. Тогда решение уравнения (1) для *i*-го слоя при известных $\Delta p^{(i)}(z_i)$ и $J^{(i)}(z_i)$ имеет вид

$$V^{(i)}(z) = K^{(i)}(z, z_i) \left(V^{(i)}(z_i) - W^{(i)}(z_i) \right) + W^{(i)}(z), \quad z_i \leq z \leq z_{i+1}. \quad (3)$$

Применяя с первого слоя последовательно формулу (3) и, считая контакт слоев идеальным, т.е. $V^{(i)}(z_{i+1}) = V^{(i+1)}(z_{i+1})$, получим

$$V^{(i)}(z) = L^{(i,1)}(z, z_1) V^{(1)}(z_1) + \sum_{j=1}^i L^{(i,j)} \times \times (z, z_j) \left(W^{(j-1)}(z_j) - W^{(j)}(z_j) \right) + W^{(i)}(z), \quad (4)$$

где $W^{(0)}(z_1) = 0, L^{(i,k)}(z, z_j) = K^{(i)}(z, z_j) K^{(i-1)}(z_j, z_{j-1}) \dots K^{(k)}(z_{k+1}, z_k), i \geq k, z_i \leq z \leq z_{i+1}$.

В конечной точке системы слоев согласно (4) получим

$$V^{(n)}(z_{n+1}) = L^{(n,1)}(z_{n+1}, z_1) V^{(1)}(z_1) + \sum_{k=1}^n L^{(n,k)}(z_{i+1}, z_k) \left(W^{(k-1)}(z_k) - W^{(k)}(z_k) \right) + W^{(n)}(z_{n+1}). \quad (5)$$

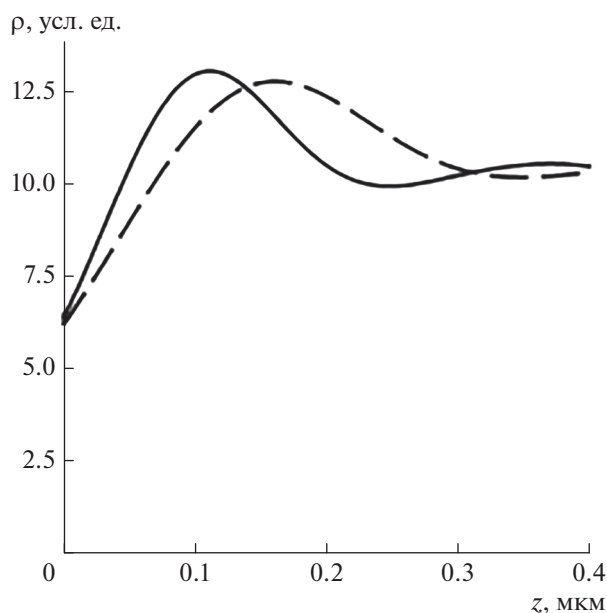


Рис. 1. Распределение по глубине относительных величин плотности потерь энергии электронами пучка, рассчитанные для однородных монокристаллических $\text{Cd}_{0.2}\text{Hg}_{0.8}\text{Te}$ (сплошная кривая) и CdTe (пунктирная кривая). Энергия электронов пучка 20 кэВ.

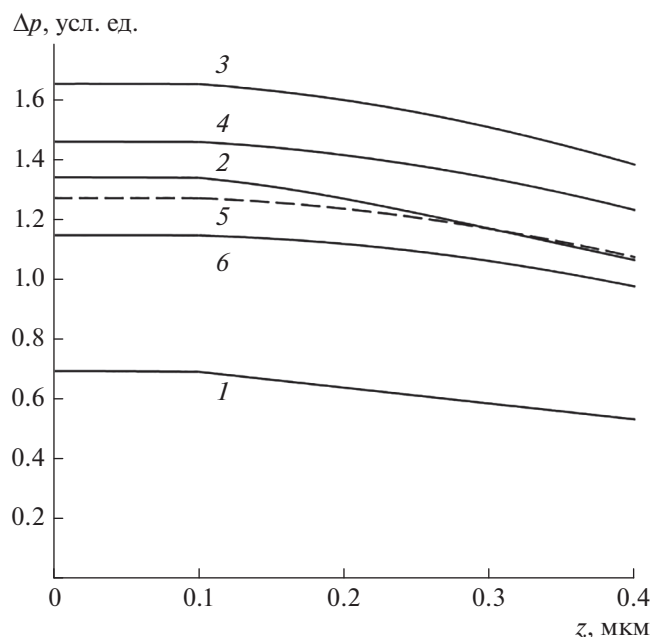


Рис. 2. Распределения ННЗ, генерированных электронным пучком в двухслойной полупроводниковой структуре $\text{Cd}_{0.2}\text{Hg}_{0.8}\text{Te}/\text{CdTe}$ толщиной 0.4 мкм (0.1 мкм – $\text{Cd}_{0.2}\text{Hg}_{0.8}\text{Te}$ и 0.3 мкм – CdTe) для различных энергий электронов пучка: 5 кэВ (кривая 1), 10 (2), 15 (3), 20 (4), 25 (5), 30 (6). Результаты расчетов аналитическим методом и численным методом практически совпадают и потому на рисунке отдельно не выделены.

Формула (5) связывает значения потенциала $\Delta p^{(i)}(z)$ и потока $J^{(i)}(z)$ в первой и последней точке системы слоев, что позволяет в общем случае сводить решение краевой задачи первого, второго или третьего типа при любом конечном числе слоев к решению системы двух линейных уравнений с двумя неизвестными, после чего рассчитывается КЛ от многослойной структуры.

Отметим, что для аналитического решения рассматриваемой задачи диффузии ННЗ в многослойной среде необходимо знать частное решение уравнения (1). В случае, если частное решение найти не удастся или оно имеет очень сложный вид, можно по данному алгоритму получить приближенное решение задачи (1), (2), аппроксимировав правую часть, например линейными функциями [11].

РЕЗУЛЬТАТЫ РАСЧЕТОВ

Некоторые возможности предлагаемого метода показаны на рис. 1–3. На рис. 1 представлены результаты расчетов по глубине относительных величин плотности потерь энергии электронами пучка, рассчитанные для однородных монокристаллических $\text{Cd}_{0.2}\text{Hg}_{0.8}\text{Te}$ (кривая 1) и CdTe (кривая 2) при энергии электронов пучка 20 кэВ. На рис. 2 представлены распределения ННЗ, генерированных электронным пучком в двухслойной полупроводниковой структуре $\text{Cd}_{0.2}\text{Hg}_{0.8}\text{Te}/\text{CdTe}$ толщиной 0.4 мкм (0.1 мкм – $\text{Cd}_{0.2}\text{Hg}_{0.8}\text{Te}$ и

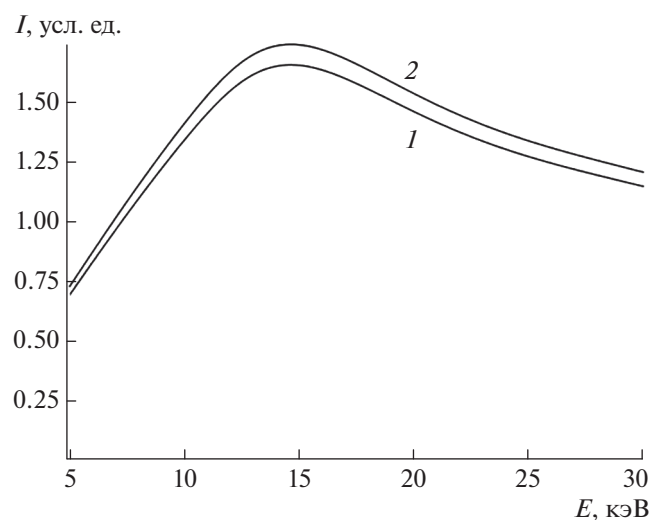


Рис. 3. Зависимости интенсивности монохроматической КЛ твердого раствора $\text{Cd}_{0.2}\text{Hg}_{0.8}\text{Te}$ толщиной 0.1 мкм двухслойной структуры $\text{Cd}_{0.2}\text{Hg}_{0.8}\text{Te}/\text{CdTe}$ от энергии E электронов пучка для различных коэффициентов поглощения в пленке КРТ: 10 (кривая 2) и 10^4 см^{-1} (кривая 1).

0.3 мкм – CdTe) для различных энергий электронов пучка: 5 (кривая 1), 10 (2), 15 (3), 20 (4), 25 (5) и 30 кэВ (6). Расчеты проведены для электрофизических параметров, характерных для твердого раствора кадмий-ртуть-теллур (КРТ). Результаты расчетов аналитическим методом и численным методом конечных разностей практически совпадают и потому на рисунке не выделены. На рис. 3 представлены зависимости интенсивности монохроматической КЛ твердого раствора $\text{Cd}_{0.2}\text{Hg}_{0.8}\text{Te}$ толщиной 0.1 мкм двухслойной структуры $\text{Cd}_{0.2}\text{Hg}_{0.8}\text{Te}/\text{CdTe}$ от энергии электронов пучка для различных коэффициентов поглощения в пленке КРТ: 10 (кривая 2) и 10^4 см^{-1} (кривая 1).

ЗАКЛЮЧЕНИЕ

Описаны результаты изучения возможностей приложения аналитического матричного метода к моделированию КЛ, обусловленной широким электронным пучком в планарной многослойной полупроводниковой структуре с произвольным числом слоев. Предложенный матричный метод позволяет проводить расчеты распределений неравновесных неосновных носителей заряда и монохроматической КЛ с точностью, достаточной для практического использования в электронно-зондовых технологиях.

Исследования проведены при финансовой поддержке Российского фонда фундаментальных исследований (проект № 19-03-00271), а также РФФИ и правительства Калужской области (проект № 18-41-400001).

СПИСОК ЛИТЕРАТУРЫ

1. Степович М.А. Количественная катодолюминесцентная микроскопия прямозонных материалов полупроводниковой оптоэлектроники. Дис. ... докт. физ.-мат. наук. М.: МГТУ им. Н.Э. Баумана, 2003. 351 с.
2. Bresse J.F. // Mater. Sci. Engin. 1996. V. B 24. № 1. P. 199.
3. Хохлов А.Г., Петров В.И., Снопина М.Г., Степович М.А. // Поверхность. Рентген., синхротр. и нейтр. иссл. 2005. № 9. С. 64; Khokhlov A.G., Petrov V.I., Snopina M.G., Stepovich M.A. // J. Surf. Invest. X-ray, Synchrotron Neutron Tech. 2005. № 9. P. 64.
4. Snopina M.G., Khokhlov A.G., Mikheev N.N., Stepovich M.A. // Proc. SPIE. 2006. V. 6278. Art. № 627800.
5. Снопина М.Г., Мухеев Н.Н., Петров В.И., Степович М.А. // Изв. РАН. Сер. физ. 2008. Т. 72. № 11. С. 1534; Snopina M.G., Mikheev N.N., Petrov V.I., Stepovich M.A. // Bull. Russ. Acad. Sci. Phys. 2008. V. 72. № 11. P. 1451.
6. Carslaw H.S., Jaeger J.C. Conduction of heat in solids. Oxford: Oxford University Press, 1959. 517 p.
7. Bers L., Gelbart A. // Trans. Am. Math. Soc. 1944. V. 56. P. 67.
8. Гладышев Ю.А., Калманович В.В., Степович М.А. // Поверхность. Рент., синхротр. нейтр. иссл. 2017. № 10. С. 105; Gladyshev Yu.A., Kalmanovich V.V., and Stepovich M.A. // J. Surf. Invest. X-ray, Synchrotron Neutron Tech. 2017. V. 11. № 5. P. 1096.
9. Калманович В.В., Степович М.А. // Пробл. разраб. персп. микро- и нанозл. сист.-2018. Сб. тр. М.: ИППМ РАН, 2018. С. 194.
10. Гладышев Ю.А., Калманович В.В., Серегина Е.В., Степович М.А. // Вопр. атом. науки и тех. Яд-реакт. констр. 2018. № 3. С. 158.
11. Kalmanovich V.V., Seregina E.V., Stepovich M.A. // J. Phys. Conf. Ser. 2019. V. 1163. Art. № 012012.
12. Мухеев Н.Н., Никоноров И.М., Петров В.И., Степович М.А. // Изв. АН СССР. Сер. физ. 1990. Т. 54. № 2. С. 274; Mikheev N.N., Nikonorov I.M., Petrov V.I., Stepovich M.A. // Bull. Acad. Sci. USSR. Phys. 1990. V. 54. № 2. P. 82.
13. Мухеев Н.Н., Петров В.И., Степович М.А. // Изв. АН СССР. Сер. физ. 1991. Т. 55. № 8. С. 1474; Mikheev N.N., Petrov V.I., Stepovich M.A. // Bull. Acad. Sci. USSR. Phys. 1991. V. 55. № 8. P. 1.
14. Мухеев Н.Н., Степович М.А. // Завод. лаб. диагн. матер. 1996. Т. 62. № 4. С. 20; Mikheev N.N., Stepovich M.A. // Indust. Lab. 1996. V. 62. № 4. P. 221.